

### III-11 粘土の $K_0$ -圧密に関する2, 3の実験と考察

京都大学防災研究所 正員 ハ木則男  
京都大学工学部 学生員〇西川一夫

#### 1 まえがき

自然堆積粘土層は一般に1次元圧密を受けている。また粘土層上に構造物が建設された場合の沈下の計算として、その粘土層が比較的薄く、載荷中の広い場合は1次元圧密が生じているとして計算する場合が多い。したがって古くより1次元圧密に対する研究がなされてきた。その最初はTerzaghiによる圧密理論であり、以後2次圧密を考慮した圧密理論が研究され今日に至っている。

また一方1次元圧密においては水平方向の変形が許されない状態で圧密されているので $K_0$ -値の研究も同時にされることが多い。 $K_0$ 値は実際の地盤の応力分布や变形などの計算に必要であるが、現地で測定することが困難な場合が多いので、実験室内で1次元圧密状態を再現して求める場合が多い。実験室内では3軸試験機によって $K_0$ -値を求めることがあるが、著者は従来のこの方法について疑問をもち、3軸試験機による新しい1次元圧密の方法によって求めた $K_0$ -値について従来の方法によるものと比較し、その圧密特性について調べた。

#### 2 $K_0$ -値の測定法に対する考察

3軸試験機によって1次元圧密を行ない $K_0$ -値を求めるには、つぎの手段によっている。<sup>1)</sup>円柱形の粘土供試体の周面にスリット状に切ったろ紙を巻きつけ、供試体の上下端面より直接に排水を許さない状態にして3軸セル内にセットし、ろ紙の一端をペデスター上におかれたポーラストンに接触させて、横方向にのみ排水を許す状態にする。そしてセル内に側圧 $\sigma_3$ を作用させ、圧密を開始すると同時に排水量 $\Delta V$ に応じて deviator stress を作用させて軸方向変位 $sh$ を、 $\Delta V = A_0 sh$  ( $A_0$ :供試体の断面積)を満足するように与える。したがって外見上直徑方向には変位はないので $K_0$ 状態が満足されているとしている。しかし供試体内部をみるとからずとも $K_0$ 状態を満足しているとは言えない。すなわち、圧密過程中的任意の時間における供試体内の間げき水压、有効応力の分布は図-1 (a)に示すようになる。したがって体積変化の分布も同様になるはずである。しかし、その体積変化に応じて与えた軸方向ひずみ $E_a$ は供試体の上下端面と剛な載荷キャップやペデスターで押して与えるから、図-1 (b)のような一様なひずみとなる。ゆえに供試体内では部分的には $K_0$ 状態を満足していない。しかるに $K_0$ -値は1次元圧密によって生じた土中のせん断抵抗に起因し、せん断抵抗は土中のせん断ひずみによって生ずるので、ひずみの状態がどの部分においても圧密過程中完全に $K_0$ 状態を満足しないければ、正確な $K_0$ -値は得られない。そこで完全に $K_0$ 状態を満足するには排水の方向と変位の方向とが一致することが必要である。この条件を満足する圧密を3軸セル内で行うために、側方向へのみ排水および変位を許し、軸方向には変位を拘束した圧密実験を行なった。

#### 3 実験装置、実験方法、試料

$K_0$ -圧密実験は二種類行なった。一つは円柱供試体の軸方向の変位を拘束した圧密試験で $K_{0a}$ -圧密

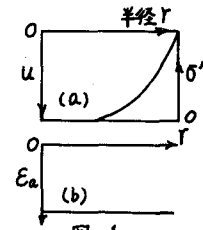


図-1

と呼ぶ。この実験を行なう装置は図-2に示してある。すなわち載荷キャップをピストンを通じてロードセルに剛結し、力が作用しても変位しないようになっている。供試体は高さ約8.0cm、直徑は約3.55cmの円柱形である。その上下端面には不透水板をおき、供試体の上下端面より直接には排水できないようにした。排水は一枚づつ分離した長方形のろ紙と供試体周面にはり付け、その基端をベデスターと不透水板の間にいったポーラストンに接触させて行なった。このようにすれば、圧密過程中の水の流れは水平放射状となり、高さ方向に一様となる。以上のようく供試体をセットしたのち周圧 $\sigma_0$ を作用させると、排水と共に軸圧が減少し、その値をロードセルを通じて記録計に自記させた。

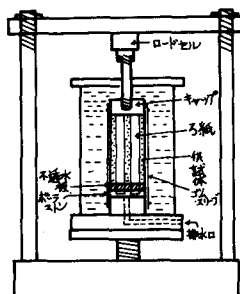


図-2

第二の実験は円柱供試体の半径方向の変位を許さない圧密試験でKor-圧密と呼ぶ。これは従来より行なわれてきた方法で、その実験装置を図-3に示す。供試体の状態はKoa-圧密の場合と全く同じである。周圧 $\sigma_0$ を作用させると排水 $\Delta V$ を生ずるが、 $\Delta V = A_0 \cdot \delta h$ を満足するようにレバーにより荷重を作用させ $\sigma_a$ を増加させた。ただし過圧密状態の試験を行なう時は図-2と同様の装置によって、下部の台を上下させることにより供試体にひずみを与える実験を行なった。

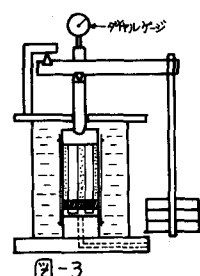


図-3

試料は表-1に示すように大阪沖積層、洪積層より採取した塑性指数PIの異なった数種の粘土である。

実験は、No.1, No.2, No.3の試料に対しては $\sigma_r$ を0.5, 1.0, 2.0kNと段階的に作用させ、各段階においては約5000分間放置した。またNo.4, No.5の試料に対しては、載荷、除荷を繰り返し与え過圧密状態における圧密特性についても調べた。

試料	PI	採取箇所	Koa-圧密 粘土の状態	Kor-圧密 粘土の状態
No.1	76.1	洪積層	○	○
No.2	45.5	"	○	○
No.3	19.7	"	○	○
No.4	37.3	堆積層	○	○
No.5	"	洪積層	○	

表-1

#### 4 実験結果と考察

##### a) $K_o$ -値

3軸試験機により円柱形供試体の直径方向の変位を拘束して求めた静止土圧係数 $K_{or} = \sigma'_r / \sigma'_a$ (ここに $\sigma'_a$ は軸方向の有効応力、 $\sigma'_r$ は直径方向の有効応力)は粘土の土粒子骨格のボアソン比 $\nu$ とすれば次式で与えられる。

$$K_{or} = \nu / (1 - \nu) \quad (1)$$

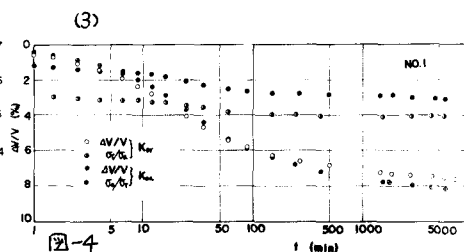
一方、軸方向の変位を拘束して求めた静止土圧係数 $K_{oa} = \sigma'_a / \sigma'_r$ は次式で示される。

$$K_{oa} = 2\nu \quad (2)$$

ゆえに $K_{or}$ と $K_{oa}$ の関係は次式となる。

$$K_{or} = K_{oa} / (2 - K_{oa}) \quad (3)$$

図-4にKor-圧密およびKoa-圧密の代表的な結果の一例を示す。図は時間の対数に対して体積変化と全応力比 $\sigma'_a / \sigma'_r$ および $\sigma'_a / \sigma_0$ の変化を示したものである。図からわかるように2次圧密領域に入ると $\sigma'_a / \sigma_0$ ,  $\sigma'_a / \sigma_r$ はほぼ一定となり、 $K_{or}$ ,  $K_{oa}$ も等しくなる。



この  $K_{or}$ ,  $K_{oa}$  を有効側圧  $\sigma'_r$  に対してプロットすると図-5 のようになり、 $K_{or}$  は  $\sigma'_r$  に対してほぼ一定であるが、 $K_{oa}$  は  $\sigma'_r$  の増加とともに減少している。これは、供試体とゴムスリーブの間にに入った空気や水を排水せしめたために、 $K_{oa}$ ,  $K_{or}$ -圧密開始前に約  $0.15 \text{ kg/cm}^2$  で等方圧密したために  $\sigma'_r$  の小さい範囲ではその影響を受け、とくに  $K_{oa}$ -圧密では最大主応力が小さいため  $K_{oa}$  の値が大きくなつたものと思われる。

塑性指數  $P_I$  と  $K_{or}$  または  $K_{oa}$  の関係を調べると、従来から言われているように  $K_{or}$ ,  $K_{oa}$  は  $P_I$  の増加とともに増加しない。これは、これらの粘土の有効内部摩擦角  $\phi'$  が  $P_I$  の増加とともにかならずとも増加しないことによるものと思われる。

そこで  $K_{or}$ ,  $K_{oa}$  と  $\phi'$  の関係を示したのが図-6 である。ここで  $\phi'$  は  $K_{or}$ ,  $K_{oa}$ -圧密後の供試体に対して行なった非排水せん断により求めた  $\phi'$  が最大値における値である。ただし、この図で  $K_{or}$  は  $K_{or}$  に対してはそのままの値であり、 $K_{oa}$  に対しては(3)式によって  $K_{or}$  の値を求めてプロットしたものである。圧密後に行なつたせん断試験を失敗したデータはプロットできなかった。なお図中には Brooker<sup>33)</sup>, Bishop<sup>44)</sup> によって求められた  $K_0$  値についてもプロットした。この図によると No.3 以外は  $K_{oa}$  より計算した  $K_0$  値より  $K_{or}$  の方が大きく、 $K_{or}$  は No.3 のデータは別として Bishop の結果に近い値を示し、 $K_{oa}$  より求めた値は Brooker の結果に近い値を示す。このことについて考察する。Bishop は著者らが行なった  $K_{or}$ -圧密と同じ方法で 3 軸試験機により  $K_0$  値を求めたものである。一方 Brooker は標準圧密試験機と同様な方法で圧密を行ない、側方に作用する応力を測定して  $K_0$  値を求めたものである。したがって Brooker の実験では圧密過程中において、間げき水圧の消散した部分と変形の生じた部分とは同じであり、その意味ではここで行なった  $K_{oa}$ -圧密と同じ条件である。ゆえに、 $K_{or}$ -値は Bishop の結果に、 $K_{oa}$ -値より計算した  $K_0$ -値は Brooker の結果に近い値を示す理由は、上記の実験条件によるものではないかと思われる。また著者の行なった  $K_{or}$ ,  $K_{oa}$ -圧密は同じ試料に対して行なった実験であり、 $K_0$ -値は同じであるから、两者から得られた  $K_0$ -値は一致するはずである。したがって前記 2 で述べた理由により、3 軸試験によって  $K_0$ -値を求める場合は  $K_{oa}$ -圧密によって行なつた方が望ましいと思われる。しかしこのことは重要な問題であるので今後さらにデータを蓄積して行きたい。

つぎに載荷、除荷の繰り返し試験を行なった試料について、過圧密比  $OCR$  に対して  $K_{or}$ ,  $K_{oa}$ -値をプロットしたのが図-7 である。 $OCR$  が大きくなると、 $K_{or}$ ,  $K_{oa}$ -値はたがいに近づく。また  $OCR$  と  $K_{or}$  値とは両対数紙上で直線で表わされる。

### b) 間げき有効応力関係

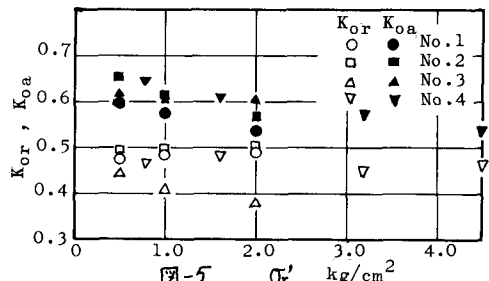


図-5  $\sigma'_r$   $\text{kg}/\text{cm}^2$

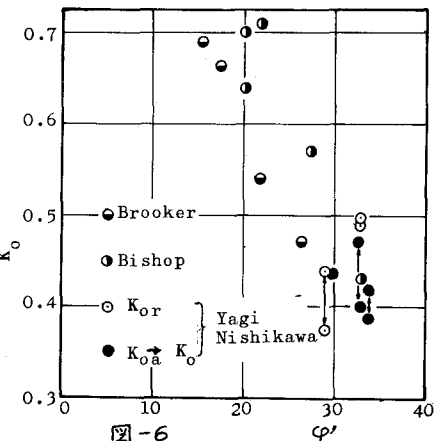


図-6  $\phi'$

一般に1次元圧密の間げき比 $e$ と有効応力 $\sigma'_v$ の関係は $e$ に対する最大有効応力に対してプロットし、圧縮指數などを求める。Kor, Kaa-圧密の場合、 $e - \log\sigma'$ 関係を統一的に表わすにはどのような応力に対する $e - \log\sigma'$ をプロットすればよいかを調べたのが図-8である。図によると最大有効主応力 $\sigma'_a$ または $\sigma'_r$ より、平均有効主応力 $\sigma'_m$ に対してプロットした方がKor, Kaa-圧密の $e - \log\sigma'$ 関係を統一的に表わしている。しかし $\sigma'_a, \sigma'_r, \sigma'_m$ のいずれの場合も直線の勾配は等しくなり、いわゆる $C_e$ の値は等しくなる。

### (c) 2次圧密速度

Kor, Kaa-圧密の2次圧密量は図-4でもわかるように、1次圧密の終了後に時間 $t$ の対数と直線的な関係がある。そこで2次圧密速度 $d(\Delta V/V)/d\log t$ で表わした。同じ $\sigma_r$ に対する $d(\Delta V/V)/d\log t$ は $d(\Delta V/V)/d\log t$ は $\sigma_m'$ の大きさにもよると思われるが、 $|(\sigma_a - \sigma_r)|/\sigma_m'$ の増加とともに2次圧密速度は増加するようである。しかし2次圧密速度は粘土が受けた応力履歴や応力の作用方向などに關係てくるので定量的に求めるには今後さらに実験を進めねばならない。なお、Kaa-圧密では正規領域における2次圧密速度はほぼ一定である。

### 5 あとがき

以上、数少ないデータから主に $K_0$ 値に対する考慮を行ない2, 3の結論を出した。この種の実験は長時間を必要とするため、現在実験を続行中であるので、講演時にさらに詳しい実験結果を報告する。

### 参考文献

- 1) A.W. Bishop & D.J. Henkel ; "The Measurement of Soil Properties in the tri-axial Test" London Arnold, 1964, pp 140~144.
- 2) 八木則男, 西川一夫; "Kaa-圧密を受けた粘土のせん断特性" 土木学会第26回年次学術講演会概要集 第3部, 昭46.10
- 3) E.W. Brooker & H.O. Trelstad ; "Earth Pressure at Rest related to Stress History". Canadian Geot. Jour., vol.11, No.1, 1965 pp 1~15.
- 4) A.W. Bishop ; "Test Requirements for Measuring the Coefficient of Earth Pressure at Rest", Brussels Conf. 58 on Earth Pressure Problems Vol. 1, 1958 pp 1~14.

